

Strahlungsprozesse in AGN

Synchrotron-Strahlung

- Einzelnes Elektron
- Elektronenverteilung
- Polarisation
- Synchrotron-Selbstabsorption

Compton-Streuung

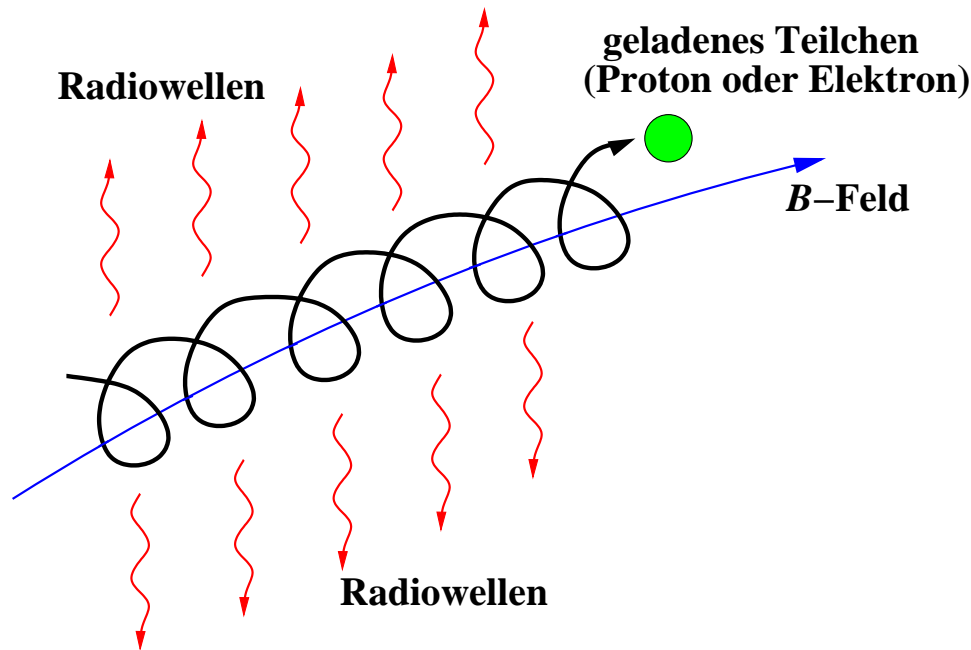
- Wirkungsquerschnitt, Streuformel
- Comptonisierung
- Kompaneetsgleichung
- Inverse Comptonstreuung
- Compton-Streuung von Synchrotron-Strahlung

Synchrotron-Strahlung – ein Teilchen

→ Vorhergesagt als physikalischer Prozess (Schwinger 1949)

→ Astrophysikalische Anwendung Radioquellen (Shklovsky 1953)

Synchrotron-Strahlung eines Teilchens:



Relativistisches Elektron im Magnetfeld

–“Relativistisch” \leftrightarrow heiß: schnelle thermische Bewegung

–Gyrotation um Magnetfeld:

Nicht-relativistisch: Zyklotron-Strahlung mit

Strahlungsfrequenz = Gyro-Frequenz:

$$\omega_G = \frac{eB}{m_e c} = 1.8 \times 10^7 \frac{B}{1\text{G}} \text{rad s}^{-1}$$

Synchrotron-Strahlung: Relativistische Elektronen:

(1) $m_e \rightarrow \gamma m_e$ (Lorentzfaktor γ), γ in Jets $\lesssim 2000$

(2) “beaming” in Öffnungswinkel γ^{-1}

(Bündelung/Verstärkung in \mathbf{v} -Richtung)

→ Lichtstrahl eines Elektrons überstreicht Beobachter

Zeitskala: Emission: $\Delta t_{\text{em}} \sim \gamma^{-1}(\omega/\gamma^{-1}) = (m_e c/eB)$

Beobachteter Puls: $\Delta t_{\text{obs}} \sim (1 - \mathbf{n} \cdot \beta)\Delta t_{\text{em}} \sim \Delta t_{\text{em}}/2\gamma^2$

Synchrotron-Strahlung – ein Teilchen

(3) Fouriertransformation des Pulses gibt typische Frequenz:

$$\begin{aligned}\nu_c &\sim \Delta t_{\text{obs}}^{-1} \\ &\sim \gamma^2 \omega_G \\ &\sim \gamma^2 (B/1\text{G}) \text{ MHz} \\ P &\sim \nu^{1/3}, \quad \nu \text{ klein} \\ P &\sim \exp(-\nu/\nu_c), \quad \nu \text{ groß}\end{aligned}$$

Maximum bei $0.29\nu_c$

Strahlungsleistung:

“Dipolstrahlung” durch beschleunigtes Elektron $\dot{\beta}$:

$\mathbf{E} = (e\dot{\beta}_{\perp}/rc)$, Strahlungsleistung $\sim |\mathbf{E}|^2$,

Leistung: $\rightarrow P = \frac{2e^2\langle|\dot{\beta}|^2\rangle}{3c}$ (LarmorFormel; Newton’sch)

$$P = \frac{2e^2\gamma^6}{3c} (|\dot{\beta}|^2 - (\beta \times \dot{\beta})^2) = 2\sigma_T c \gamma^2 \beta_{\perp}^2 \frac{B^2}{3\pi}, \quad (\text{relativistisch})$$

Kühlungszeit durch Synchrotron-Strahlung

$$t_{\text{cool}} = \frac{\gamma m_e c^2}{P} \sim 6 \times 10^8 \left(\frac{B}{1\text{G}}\right)^{-3/2} \left(\frac{\nu}{\text{MHz}}\right)^{-1/2}$$

Zahlenwerte: B , ν_c , γ , t_{cool} , t_{dyn} :

10^{-5}G , 10^9Hz , 10^4 , 10^7yr , 10^8yr , Ausgedehnte Radioquelle

10^{-3}G , 10^9Hz , 10^3 , 10^4yr , 10^4yr , Radiojet

10^3G , 10^{16}Hz , $10^{3.5}$, 10^8yr , 1yr , Innere Scheibe

Polarisation der Synchrotronstrahlung:

\rightarrow Linear polarisiert bis zu $\sim 70\%$

(Vgl. mit Zyklotronstrahlung, und zirkularer Polarisation)

Synchrotron-Strahlung – Potenzgesetz

Spektrum einer Elektronenverteilung

Nicht-thermische Synchrotron-Strahlung:

Potenzgesetz für Elektronen-Energieverteilung $N_\gamma = K\gamma^{-s}$

Gültig für begrenzte Energieskala: “cutoff” bei γ_{\min} , γ_{\max}

Maximale Emission des einzelnen Elektrons bei $\nu_c \sim \gamma^2 \nu_G$

$P_\nu \sim P\phi_\nu$; $\phi_\nu(\gamma) = \delta(\nu - \nu_c)$

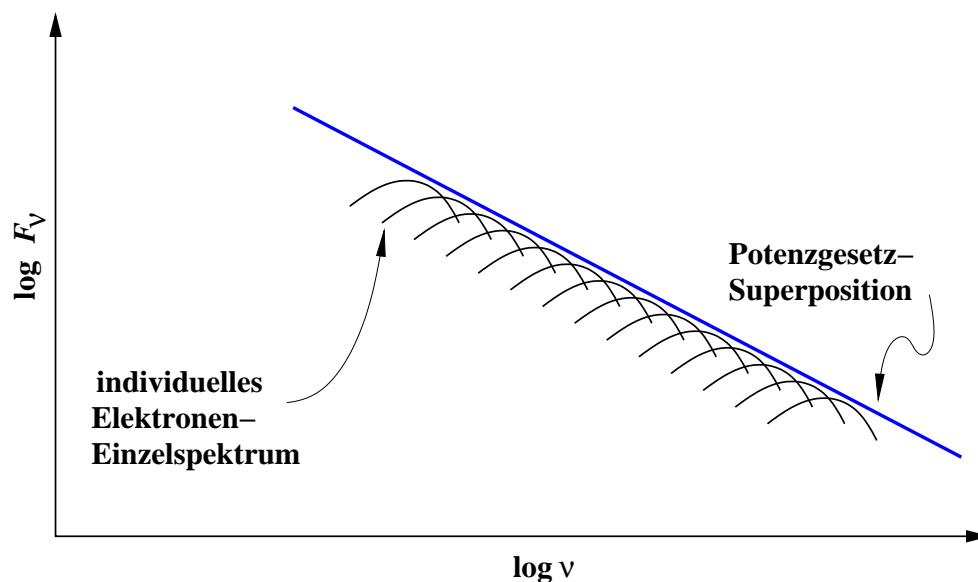
Integration über alle Elektronen \rightarrow totales Spektrum:

Spekt. Emissivität/Volumen: $j_\nu \sim \int N_\gamma P_\nu d\gamma$

\rightarrow Strahlungsleistung: $P_\nu \sim KB^{1+\alpha}\nu^{-\alpha}$

Potenzgesetz-Elektronenverteilung \rightarrow Potenzgesetz-Spektrum:

\rightarrow Spektralindex $\alpha = (s - 1)/2$



Beispiele:

Ausgedehnte Radioquellen $\alpha \simeq 0.7$, $s \simeq 2.4$

Radiojets $\alpha \simeq 0.5$

Synchrotron-Strahlung – Selbstabsorption

Synchrotron-Selbstabsorption:

Im Falle kompakter Radioquellen:

→ Emittierendes Medium kann abgestrahlte Strahlung wieder selbst absorbieren

→ Strahlungsflußdichte $S_\nu = \int (j_\nu / 4\pi D^2) dV$

Intensität: erhalten entlang Lichtstrahl: $S_\nu = \int I_\nu d\Omega$

→ Optisch dick: Intensität → Quellfunktion: $I_\nu = j_\nu / 4\pi \rho \kappa_\nu$

→ Strahlungsfeld in der Quelle anisotrop → “break frequency” ν_b :

→ Quelle optisch dick (dünn) für $\nu \ll \nu_b$ ($\nu \gg \nu_b$)

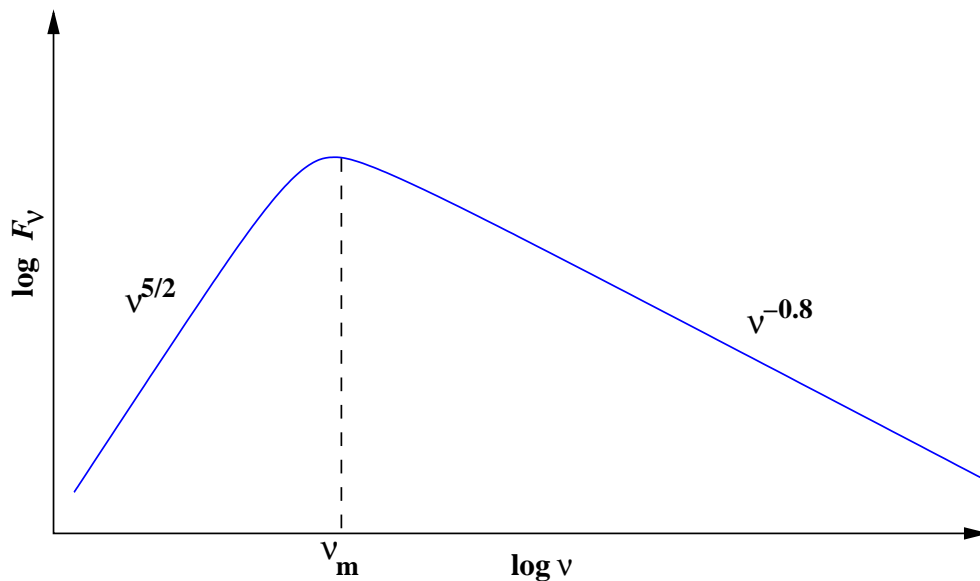
Definition: “Brightness temperature” $T_B \equiv (c^2 I_\nu / 2k_B \nu^2) \simeq$ Schwarzkörper mit

Intensität I_ν im Rayleigh-Jeans-Teil des Planck-Spektrums

Thermodynamisch gilt $T_B(\nu) < \frac{\gamma m_e c^2}{3k_B} \simeq 10^9 \left(\frac{\nu}{\text{MHz}}\right)^{1/2} \left(\frac{B}{\text{G}}\right)^{-1/2} \text{ K}$

Strahlungsfluß im Falle von Selbstabsorption: $S_\nu \sim T_B \nu^{2.5}$

(kann nicht durch homogene Quelle erklärt werden)



→ Erklärt beobachteten “cutoff” im FIR bei radioleisen Quasaren

zum Vergleich: Radio-Bögen (“radio lobes”) sind optisch dünn

Compton-Streuung – Thomson-Streuung

Thomson-Streuung (Wirkungsquerschnitt):

Niederenergetischer Bereich \simeq Rayleigh-Streuung

Streuung von Photonen an Elektronen: Frequenzerhaltung

Beschleunigung des Elektrons durch Lichtwelle: $\mathbf{E} = (e\dot{\beta}_\perp/rc)$

Strahlungsleistung $P \sim |\mathbf{E}|^2$

Differentieller Wirkungsquerschnitt für Streuung der

Lichtwelle in \mathbf{n} -Richtung (polarisiert in \mathbf{e} -Richtung)

in \mathbf{n}' -Richtung (polarisiert in \mathbf{e}' -Richtung):

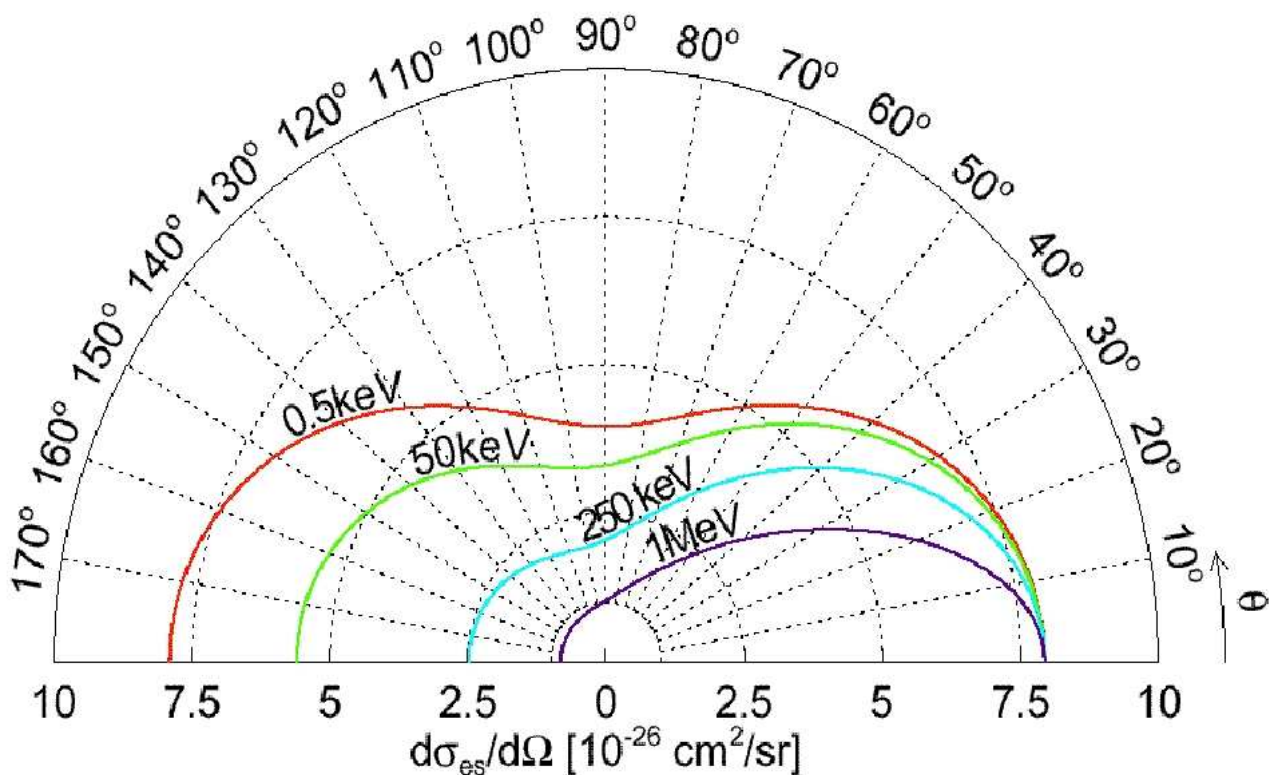
$$\frac{d\sigma}{d\Omega} = r_e^2 (\mathbf{e} \cdot \mathbf{e}') = \frac{1}{2} r_e^2 (1 + (\mathbf{n} \cdot \mathbf{n}')^2)$$

Mittelung über $\mathbf{n} \cdot \mathbf{n}'$: Wirkungsquerschnitt $\sigma_T = 6.652 \times 10^{-25} \text{cm}^2$

→ Optische Tiefe: $\tau_T = \int ds n_e \sigma_T$

Für $\tau_T \ll 1$: Streuwahrscheinlichkeit

Für $\tau_T \gg 1$: optisch dick, Entweichzeitskala $\sim c/\tau_T$



(Christian Fendt)

Compton-Streuung – Wirkungsquerschnitt

Compton-Streuung:

Wenn $h\nu$ vergleichbar mit $m_e c^2$: → Elektronen-Rückstoß

→ Streuung mit $h\nu' \rightarrow h\nu$

→ Compton-Streuformel:

$$\nu = \frac{m_e c^2 \nu'}{m_e c^2 + h\nu'(1 - \mathbf{n} \cdot \mathbf{n}')}$$

(Streuung unter Energie- und Impulserhaltung)

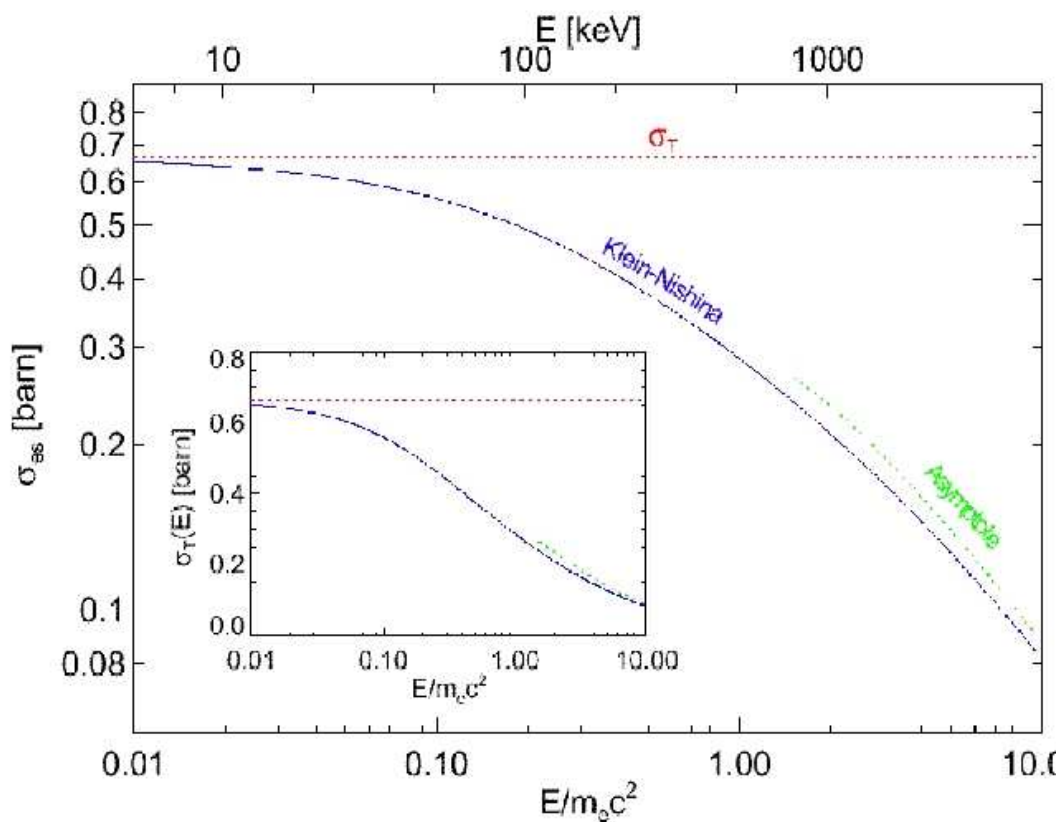
Frequenzverschiebung:

$$\frac{\Delta\nu}{\nu} = -\frac{h\nu}{m_e c^2}(1 - \cos\theta), \quad \left\langle \frac{\Delta\nu}{\nu} \right\rangle \simeq -\frac{h\nu}{m_e c^2}, \quad (h\nu \ll m_e c^2)$$

Wirkungsquerschnitt durch $\Delta\nu$ verkleinert: Klein-Nishina

$$\sigma \simeq \left(1 - \frac{2h\nu}{m_e c^2}\right), \quad h\nu \ll m_e c^2$$

$$\sigma \simeq \frac{3}{8}\sigma_T \frac{m_e c^2}{h\nu} \left(\ln\left(\frac{2h\nu}{m_e c^2}\right) + \frac{1}{2}\right), \quad h\nu \gg m_e c^2$$



(Christian Fendt)

Compton-Streuung – Comptonisierung

Energetisches Gleichgewicht von Elektronen und Photonen

(1) Heizung der Elektronen durch Photonen:

Mittlere Heizrate der Elektronen (U_ν : Strahlungsenergiedichte)

$$W_+ = n_e \sigma_{TC} \int d\nu U_\nu \frac{h\nu}{m_e c^2}, \quad h\nu \ll m_e c^2$$

(2) Energieübertrag an Photonen:

mittlere Frequenzverschiebung $\langle \Delta\nu/\nu \rangle = x k_B T / m_e c^2 \rightarrow$ Kühlrate der Elektronen:

$$W_- = n_e \sigma_{TC} \int d\nu U_\nu \frac{x k_B T}{m_e c^2}, \quad x = 4$$

In AGN: $U_\nu \gg U_e \rightarrow$ Temperatur durch U_ν bestimmt

$$T_C = \frac{h \langle \nu \rangle}{4k_B}, \quad \langle \nu \rangle \equiv \frac{\int d\nu \nu U_\nu}{\int d\nu U_\nu}$$

Zeitskala für Comptonisierung: $t_C \sim (m_e c^2 / \sigma_T U)$

Beispiel: Gas um “broad line region” in Seyfert-Galaxien

Röntgen-Spektrum folgt Potenzgesetz

$$\rightarrow \langle \nu \rangle \sim (\alpha - 1) / (2 - \alpha) (\nu_{\min} / \nu_{\max})^{\alpha - 1} \nu_{\max}$$

$$(\alpha \simeq 0.7, \nu_{\max} = 100 \text{keV}, \nu_{\min} = 1 \text{keV})$$

$$\rightarrow T_C = 7 \times 10^7 \text{K}$$

Aus Temperatur \rightarrow Druckabschätzung \rightarrow Druck des Gases innerhalb der BLR zu klein um die Wolken halten zu können

Compton-Streuung – Kompaneetsgleichung

Energetisches Gleichgewicht von Elektronen und Photonen

→ Detaillierte Beschreibung durch Kompaneets-Gleichung

→ Energieverluste/-gewinne der Photonen in kleinen Schritten

→ Beschreibung durch Zustandsgleichung für die Frequenz

“Besetzungszahl” n als mittlere # Photonen pro Volumen und Polarisation

$$n \sim 4\pi\nu^2 d\nu dV / c^3$$

Thermisches GG: Planck-Verteilung: $n = (\exp(h\nu/k_B T) - 1)^{-1}$

Entwicklung des Zustandes: Kompaneets-Gleichung:

$$\frac{\partial n}{\partial y} = \frac{1}{x^2} \frac{\partial}{\partial x} x^4 \left(n + n^2 + \frac{\partial n}{\partial x} \right) \quad (\text{Kompaneets 1957})$$

$x \equiv (h\nu/k_B T)$: Energie der Photonen

$y \equiv (4k_B T/m_e c^2) \sigma_T (N_e c t)$: Comptonisierungs-Parameter

Interpretation:

$(\partial n / \partial x)$: Doppler-Verschiebung

n : “recoil”-Effekt, Rückstoß durch Elektron

n^2 : Induzierte/stimulierte Emission

Lösungsbeispiel: ohne recoil und induzierte Streuung:

→ stationäres Spektrum einer monoenergetischen Photonenquelle mit $\nu = \nu_0$

→ Potenzgesetz für $n(\nu) \sim \nu^{-(3+\alpha)}$; $\nu_0 < \nu < \nu_{\text{rec}}$ mit exponentiellem “cutoff”

bei $\nu_{\text{rec}} = (3 + \alpha) k_B T / h$

Spektralindex aus $(\alpha + 3)\alpha = 4/y$

Beispiel: Seyfert-Galaxien: Röntgen-Spektralindex $\alpha = 0.7 \rightarrow y = 1.5$

Compton-Streuung – Inverse C-S, SSC

Inverse Compton-Streuung:

Compton-Streuung an relativistischen Elektronen

$$\rightarrow P = (4/3)\gamma^2\sigma_T c U_{\text{rad}}$$

(U_{rad} : Strahlungsenergiedichte; $\gamma \gg 1$)

Mittlere gestreute Photonenfrequenz: $\langle \nu \rangle = (4/3)\gamma^2\nu'$

(γ^2 : zweimal relativistische Dopplerverschiebung: Transformation der Streuprozesse zwischen Photonen und Elektronen-Bezugssystem)

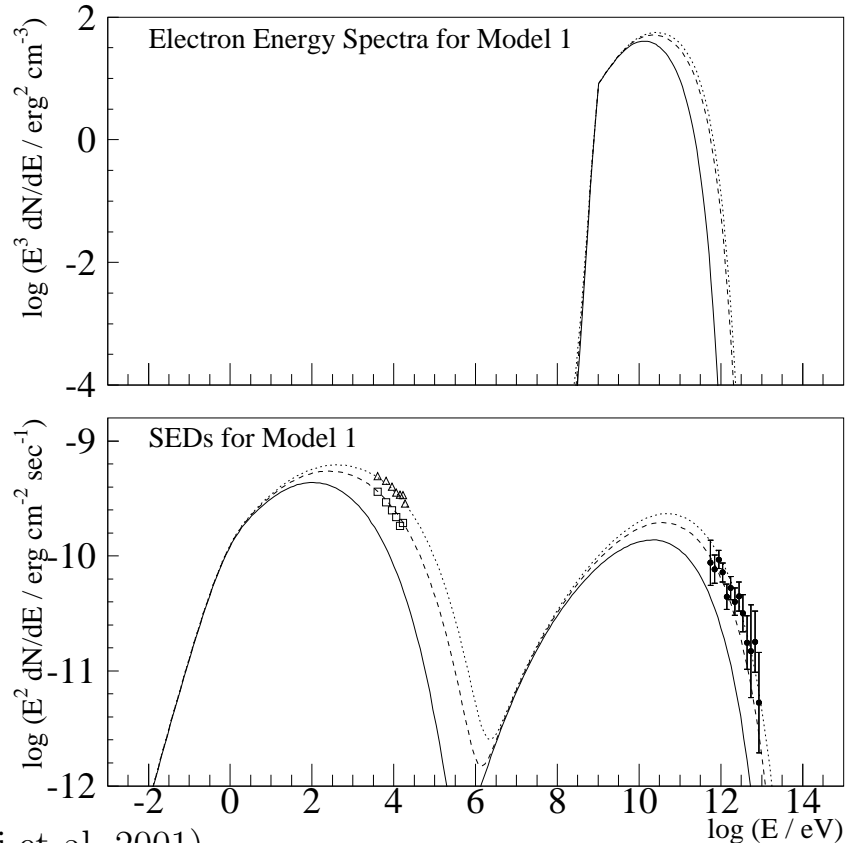
Synchrotron-selbst Compton Strahlung:

Kompakte Radioquelle \rightarrow Synchrotron-Strahlung wird an relativistischen Elektronen invers Compton-gestreut

Gestreuter Strahlungsfluß aus Integration über Synchrotron- Spektrum und Elektronenverteilung mit δ -Funktion

$$S_c(\nu) = \int d\nu' \nu'^{-\alpha} \int d\gamma \gamma^{-s} \delta(\nu - 4\gamma^2\nu'/3) \sim \int d\nu' \nu'^{-\alpha-1}$$

Spektralindex bleibt ungefähr erhalten, $(\alpha) = (s - 1)/2$



(Krawczynski et al. 2001)